

МОРСКАЯ СРЕДА

УДК 551.463

В. Е. ШЕМШУРА, З. З. ФИНЕНКО

ВОССТАНОВЛЕНИЕ ВЕРТИКАЛЬНОГО ПРОФИЛЯ СУММАРНОЙ ФОТОСИНТЕТИЧЕСКОЙ АКТИВНОЙ РАДИАЦИИ В МОРЕ ПО ГЛУБИНЕ ВИДИМОСТИ БЕЛОГО ДИСКА

На основании экспериментальных данных, полученных в различных районах Мирового океана, разработан алгоритм восстановления вертикального профиля суммарной фотосинтетически активной радиации в море по глубине видимости белого стандартного диска. Приведены уравнения регрессии, характеризующиеся коэффициентами корреляции больше 0,9 и изменением относительной прозрачности по белому диску от 0,6 до 61,5 м.

При изучении первичной продукции морского фитопланктона необходимо знание величины энергии суммарной фотосинтетически активной радиации (ФАР) на разных глубинах в пределах эвфотной зоны. Измерения ФАР *in situ* в практике отечественной гидробиологии проводятся сравнительно редко. Это объясняется отсутствием серийно выпускаемой унифицированной зондирующей оптико-электронной аппаратуры, ее сложностью, а также ограниченным техническим оснащением многих научно-исследовательских судов. В этой связи разработка косвенных методов, позволяющих экспрессно и с достаточной достоверностью оценивать уровень ФАР, достигшей определенного горизонта, приобретает практическое значение. В предлагаемой работе на основании эмпирических данных, полученных в различных районах Мирового океана, обосновывается алгоритм восстановления вертикального профиля суммарной ФАР по глубине видимости белого диска, или относительной прозрачности τ_{σ} , м. Для решения поставленной задачи предварительно рассмотрим основные закономерности распространения естественной радиации в море.

Естественная радиация в атмосфере над морем и ее распространение в водной толще. На поверхность моря падает поток излучения, состоящий из прямого света Солнца (не претерпевшего рассеяние в атмосфере) и света неба (излучения, рассеянного атмосферой). Пусть $E^+ (\lambda, 0^+)$ — спектральная плотность энергетической облученности (СПЭО) сверху непосредственно над водной поверхностью ($z=0^+$), $\text{Вт}/\text{м}^2 \cdot \text{нм}$. СПЭО создается числом квантов $N(\lambda) = E^+ (\lambda, 0^+) \lambda / hc$, где $h = 6,626 \cdot 10^{-34}$ Дж·с — постоянная Планка; $c = 3 \cdot 10^{17}$ нм/с — скорость света; λ — длина волны, нм. Тогда суммарные энергетическая ($E^+ (0^+)$, $\text{Вт}/\text{м}^2$) и квантовая ($Q^+ (0^+)$, квантов/м²·с) облученности в области ФАР будут определяться следующим образом:

$$E^+ (0^+) = \int_{350 \text{ нм}}^{700 \text{ нм}} E^+ (\lambda, 0^+) d\lambda, \quad (1)$$

$$Q^+ (0^+) = (1/hc) \int_{350 \text{ нм}}^{700 \text{ нм}} E^+ (\lambda, 0^+) \lambda d\lambda. \quad (2)$$

Здесь диапазон 350—700 нм выбран согласно рекомендациям РГ № 15 [24].

© В. Е. Шемшура, З. З. Финенко, 1992

Наиболее часто измерения естественной радиации производятся с помощью пиранометра. Теоретические расчеты, выполненные в [1] для модели стандартной атмосферы, показывают, что

$$E^+ (0^+) = (0,43 \pm 0,03) E_{\text{п}} (350—3000, 0^+) \quad (3)$$

при изменении высоты Солнца от 19 до 75°. Здесь $E_{\text{п}} (350—3000, 0^+)$ Вт/м² — облученность сверху на поверхности моря в области 350—3000 нм, измеренная с помощью пиранометра. Используя это уравнение и соотношение

$$Q^+ (0^+) = 2,75 \cdot 10^{18} \cdot E^+ (0^+) \quad (4)$$

справедливое для релеевской атмосферы и высоких положений Солнца, но мало меняющееся с изменением замутненности воздуха, нетрудно связать суммарную квантовую облученность и показания пиранометра [13]:

$$Q^+ (0^+) = 1,2 \cdot 10^{18} E_{\text{п}} (350—3000, 0^+) \quad (5)$$

Справедливость формул (3)—(5) подтверждается результатами натуральных экспериментов [4, 16, 21]. Так, в [4] показано, что непосредственно под ($z=0^-$) водной поверхностью суммарная энергетическая облученность сверху в области ФАР ($E^+ (0^-)$ Вт/м²) соотносится с данными пиранометра следующим образом:

$$E^+ (0^-) = (0,44 \pm 0,02) E_{\text{п}} (290—2700, 0^+) \quad (3a)$$

Расчет регрессии, проведенный автором [4] по результатам всех наблюдений ($n=1212$), показывает, что

$$E^+ (0^-) = 0,44 E_{\text{п}} (290—2700, 0^+) - 1,51 \quad (3b)$$

с коэффициентом корреляции $r=0,94$. Для спектрального диапазона 400—700 нм в [12] получено

$$Q^+ (0^+) = (2,77 \pm 0,02) \cdot 10^{18} E^+ (0^+) \quad (4a)$$

Согласно [16], имеет место уравнение регрессии

$$Q^+ (0^+) = 1,176 \cdot 10^{18} E_{\text{п}} (300—2800, 0^+) \quad (5a)$$

при $n=67$, $r=0,99$. Из соотношений (4a) и (5a) получаем

$$E^+ (0^+) = 0,425 E_{\text{п}} (300—2800, 0^+) \quad (3b)$$

Следует подчеркнуть, что приведенные выше эмпирические соотношения практически не зависят от высоты Солнца ($h \odot \gtrsim 20^\circ$) и метеорологических условий наблюдения [4, 16, 21].

В работах [12, 18, 21] анализировалось изменение с глубиной (z , м) отношения $E^+ (z)/Q^+ (z)$, которое, как выяснилось, с увеличением z приближается к своему постоянному значению. В прозрачных водах, лучше пропускающих коротковолновое излучение, наблюдается некоторое увеличение E^+ / Q^+ от поверхности до $z \sim 20$ м; для прибрежных вод, характеризующихся максимальным пропусканием света в зеленом диапазоне, изменения данного отношения незначительны [13]. В целом можно считать, что суммарные квантовая и энергетическая облученности сверху в области ФАР с точностью до $\pm 10\%$ пропорциональны друг другу независимо от типа вод и рассматриваемой глубины. Это означает, что различия в показателях вертикального ослабления для указанных облученностей незначительны и их изменения с глубиной будет происходить одинаково

$$E^+ (z) = T E^+ (0^+) \exp [-\alpha (0 - z) z], \quad (6)$$

$$Q^+ (z) = T Q^+ (0^+) \exp [-\alpha (0 - z) z], \quad (7)$$

где $\alpha (0 - z)$, 1/м — показатель вертикального ослабления, осредненный по слою воды ($0 - z$, м); T — коэффициент пропускания суммарной

ФАР водной поверхностью. Согласно [6, 15], в среднем $T=0,96$. Следовательно, для показателя вертикального ослабления можем записать

$$\alpha(0-z) = -\ln [E^+(z)/E^+(0^-)]/z = -\ln [Q^+(z)/Q^+(0^-)]/z, \quad (8)$$

где $E^+(0^-) = TE^+(0^+)$, $Q^+(0^-) = TQ^+(0^+)$. Если на глубине $(z_x\%, \text{ м})$ суммарная облученность сверху в области ФАР составляет $x\%$ своего поверхностного значения, то

$$\alpha(0-z_x\%) = \ln (100/x\%)/z_x\%, \quad (8a)$$

откуда

$$z_x\% = \ln (100/x\%)/\alpha(0-z_x\%). \quad (9)$$

Следует отметить, что показатель вертикального ослабления, как относящийся к вторичным гидрооптическим характеристикам, зависит не только от свойств самой воды, но и от условий освещения морской поверхности. Однако первая группа факторов оказывается определяющей [6, 15].

Восстановление вертикального профиля суммарной ФАР по глубине видимости белого диска. Имеется большое количество работ, посвященных данной проблеме (см. обзоры [8, 25]). Обычно прогнозируемым параметром является показатель вертикального ослабления $\alpha(0-z_1\%)$, средненный по всей фотической зоне, нижней границей которой принято считать глубину $(x_1\%, \text{ м})$, где облученность составляет 1% поверхностной. Подразумевается, что при расчете $z_x\%$ по уравнению (9) для одного и того же значения z_b показатели $\alpha(0-z_x\%)$ и $\alpha(0-z_1\%)$ равны между собой. В этом случае

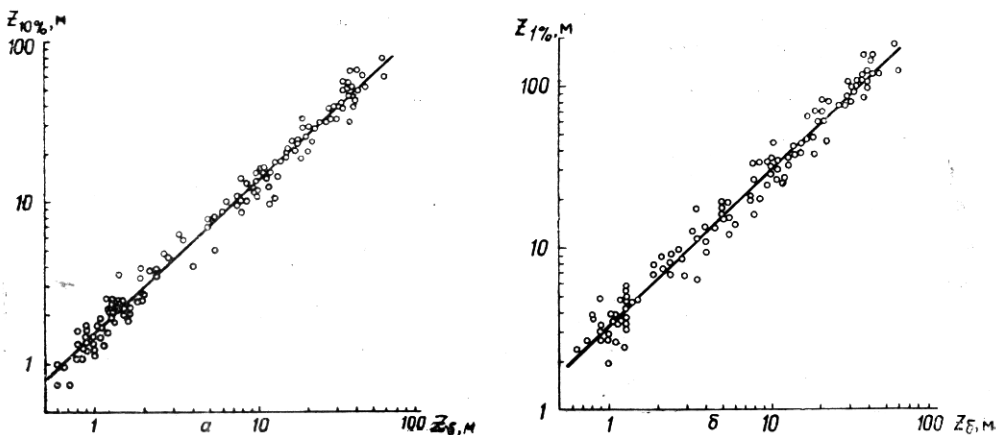
$$z_x\% \approx \ln (100/x\%)/\alpha(0-z_1\%) = [\ln (100/x\%)/\ln 100] z_1\%. \quad (10)$$

Подобного рода задача впервые рассматривалась в [22], согласно которой $\alpha(0-20) z_b = 1,7$ при $n=14$ и $6,5 \leq z_b \leq 22 \text{ м}$ (измерения проводились в Английском Канале). Это соотношение до сих пор широко используется в практике гидробиологических исследований в качестве основы для расчета $z_x\%$:

$$z_x\% \approx \ln (100/x\%) z_b / 1,7.$$

В действительности даже в гомогенных водах показатель вертикального ослабления не является постоянной величиной, а изменяется с увеличением глубины, стремясь к некоторому своему предельному значению, которое достигается при наступлении глубинного светового режима [3]. Если проанализировать, например, изменение с глубиной облученостей $Q^+(z)$ и $E^+(z)$ для различных типов вод (см. рис. 73 и 130 из [2]), то во всех случаях наблюдается более быстрое их уменьшение с увеличением z в верхних слоях моря по сравнению с нижележащими. Это объясняется сужением спектрального диапазона вследствие интенсивного поглощения водой длинноволновой радиации (в мутных водах следует также учитывать и поглощение коротковолнового света), сокращением коллимированного потока света и ростом его диффузной части. Сужение первоначально широкой полосы 350—700 нм при возрастании глубины происходит до тех пор, пока на нижней границе фотической зоны большинство квантов не будет принадлежать к области длин волн, соответствующей максимуму пропускания. Причем нелинейный характер кривых $\ln Q^+(z)$ и $\ln E^+(z)$ проявляется тем сильнее, чем прозрачнее вода. Свой вклад в вариацию показателя вертикального ослабления вносит также и неоднородность водных масс по глубине. Следовательно, для корректного решения поставленной задачи необходим послойный расчет показателя вертикального ослабления по относительной прозрачности.

Предварительно рассмотрим возможность непосредственного определения глубин $z_{10\%}$ и $z_1\%$ по известной величине z_σ . С этой целью



Взаимосвязь между глубинами $z_{10\%}$ (а) и $z_{1\%}$ (б), где суммарная облученность сверху в области ФАР составляет 10% (а) и 1% (б) своего поверхностного значения, и относительной прозрачностью z_σ

нами привлечен обширный экспериментальный материал, охватывающий различные акватории Мирового океана (включая пресноводные водоемы) и представленный на графиках (рисунок). Его необходимая характеристика дана в табл. 1. Как видно из приведенных рисунков, между логарифмами входных параметров наблюдаются ярко выраженные линейные зависимости при относительно небольшом разбросе точек, обусловленном погрешностями эксперимента и расчета. Проведенный корреляционный анализ показывает, что

$$\lg z_{10\%} = 0,188 + 0,930 \lg z_\sigma \quad (11)$$

при $n=149$; $r=0,992$; $S_{yx}=0,075$; $0,74 \leq z_{10\%} \leq 77$ м; $0,60 \leq z_\sigma \leq 61,5$ м;

$$\lg z_{1\%} = 0,519 + 0,956 \lg z_\sigma \quad (12)$$

при $n=128$; $r=0,989$; $S_{yx}=0,085$; $1,9 \leq z_{1\%} \leq 184$ м; $0,65 \leq z_\sigma \leq 61,5$ м. Здесь S_{yx} — стандартная ошибка регрессии. Обобщение всего числового массива при расчетах уравнений (11) и (12) стало возможным вследствие хорошего соответствия друг другу групп точек, относящихся к различным пунктам табл. 1. Определенный интерес представляют обратные зависимости: $\lg z_\sigma = -0,187 + 1,057 \lg z_{10\%}$ при $S_{yx}=0,080$ и $\lg z_\sigma = -0,513 + 1,022 \lg z_{1\%}$ при $S_{yx}=0,088$. Сплошные линии на рисунке — графическое изображение уравнений (11) и (12) соответственно. В потенцированном виде

$$z_{10\%} = 1,542 (z_\sigma)^{0,930}; \quad (11a)$$

$$z_{1\%} = 3,304 (z_\sigma)^{0,956}. \quad (12a)$$

Отметим, что по независимому массиву данных для австралийских вод получено следующее соотношение [26]:

$$\lg \alpha (0 - z_{1\%}) = 0,14 - 0,95 \lg z_\sigma \\ (n=300; r=-0,985; 0,23 \leq z_\sigma \leq 30 \text{ м}),$$

откуда

$$\lg z_{1\%} = 0,52 + 0,95 \lg z_\sigma \quad (13)$$

или

$$z_{1\%} = 3,31 (z_\sigma)^{0,95}. \quad (13a)$$

Нетрудно убедиться, что в диапазоне изменения относительной прозрачности от 0,2 до 60 м результаты расчетов $z_{1\%}$ по формулам (12a) и (13a) практически совпадают между собой. Если $z_\sigma=0,2$ м, то $z_{1\%}$ по

Таблица 1. Характеристика экспериментального материала, взятого для анализа взаимосвязи между глубинами $z_{10\%}$, $z_1\%$, где суммарная облученность снизу в области ФАР составляет 10 и 1% своего поверхностного значения соответственно, и относительной прозрачностью z_σ

Изучаемая акватория, источник исходных данных	$z_{10\%} = f(z_\sigma)$			$z_1\% = f(z_\sigma)$			Метод расчета глубин $z_{10\%}$, $z_1\%$	
	Диапазон изменения			Диапазон изменения				
	$z_{10\%}$	z_σ	n	$z_1\%$	z_σ	n		
Атлантический, Тихий океаны, в том числе Перуанский апвеллинг [20]	4—28	4—21	20	9,5—70	4—21	16	Приведены значения $z_{10\%}$, $z_1\%$	
Саргассово море, Тихий океан [5] Исландский шельф [11] Английский Канал [22]	31—60 9,7—14 10—24	25—61,5 8—13 6,5—22	5 4 14	76—123 25—33 33—48	29—61,5 8—13 10—22	2 4 10	По $E^+(z)$ По $Q^+(z)$ $z_{10\%}$ — по $\alpha(0—z_\sigma)$ $z_1\%$ — по $\alpha(0—40)$	
Тропический эстуарий [23]	0,74—2,5	0,6—1,5	40	2,4—5,8	0,65—1,5	34	$z_{10\%}$ — по $\alpha(0—2)$ $z_1\%$ — по $\alpha(0—4)$	
Юго-западная часть северной Атлантики [9]	17—55	13—47	25	35—124	13—47	25	$z_{10\%}$ — по $\alpha(0—z_\sigma)$ $z_1\%$ — по α^*	
Прибрежные воды [10] Пресноводные и прибрежные воды [17] Озера Камеруна [19] Тихий океан [7]	3,4—12 1,2—16 — 38—77	1,9—12 1—11 — 30—60	13 3 — 5	6,9—25 1,9—7,5 2,5—31 87—184	1,9—12 1—2,2 0,75—11 30—60	13 2 17 5	То же По $Q^+(z)$ $z_1\%$ — по α^* $z_{10\%}$ — по $\alpha(0—z_\sigma)$ $z_1\%$ — по α^*	
Прибрежные воды [27]	1,7—3,6	1,06—2	20	—	—	—	Приведены значения $z_{10\%}$	

* Показатель вертикального ослабления α , осредненный по всей зоне фотосинтеза (значения приведены в цитируемых работах).

формулам (12a) и (13a) соответственно равны 0,71 и 0,72 м; при $z_\sigma = 60$ м в первом случае $z_1 = 166$ м, а во втором — 162 м.

Ранее было показано, что глубина $z_{10\%}$, являясь серединой фотической зоны, тесно связана со значениями $z_{30\%}$ и $z_3\%$:

$$z_{30\%} = 0,50 z_{10\%} - 2,3 \cdot 10^{-3} (z_{10\%})^2; \quad (14)$$

$$z_3\% = 1,65 z_{10\%}. \quad (15)$$

Уравнения (14), (15), представленные в [14], получены на основе анализа большого числа измерений $Q^+(z)$, выполненных в водах различной трофности — от Саргассова моря до продуктивных районов Западной Африки. В [14] подчеркивается, что восстановление $z_{30\%}$ и $z_3\%$ по величине $z_{10\%}$ производится с достаточной для большинства практических целей точностью, а разброс точек на соответствующих графиках является следствием случайных ошибок измерений. Следовательно, с учетом выражения (11a) для $z_{30\%}$, $z_3\% = f(z_\sigma)$ имеем

Таблица 2. Глубины (z_x , м), на которых суммарная облученность в

z_σ , м	z_x , м						
	$x=80\%$ по			$x=40\%$ по			
	(20a)	(10б)	(10a)	(20a)	(10б)	(10a)	(11a)
0,5	0,07	0,08	0,07	0,31	0,34	0,27	0,81
1	0,14	0,16	0,13	0,58	0,66	0,54	1,54
5	0,62	0,75	0,66	2,54	3,06	2,69	6,89
10	1,14	1,45	1,31	4,69	5,95	5,39	13,1
20	2,05	2,81	2,63	8,41	11,5	10,8	25,0
30	2,81	4,13	3,94	11,5	17,0	16,2	36,5
40	3,44	5,45	5,25	14,1	22,4	21,4	47,6
50	3,96	6,74	6,56	16,3	27,7	26,9	58,6
60	4,37	8,02	7,88	19,9	32,9	32,3	69,5

* Расчет проведен по разработанному алгоритму и формулам (10 а), (10 б).

$$z_{30\%} = 0,771 (z_\sigma)^{0,930} - 5,5 \cdot 10^{-3} (z_\sigma)^{1,860}, \quad (16)$$

$$z_{3\%} = 2,544 (z_\sigma)^{0,930}. \quad (17)$$

Таким образом, в фотической зоне мы выделяем четыре слоя: от поверхности до $z_{30\%}$, от $z_{30\%}$ до $z_{10\%}$, от $z_{10\%}$ до $z_3\%$ и от $z_3\%$ до $z_1\%$. В общем виде показатель вертикального ослабления, осредненный по какому-либо из них, будет определяться выражением

$$a(z_{n\%} - z_{k\%}) = \ln (n\% / k\%) / (z_{k\%} - z_{n\%}). \quad (18)$$

Здесь глубины $z_{n\%}$ и $z_{k\%}$ являются верхней и нижней границами слоя, где суммарная облученность сверху в области ФАР составляет соответственно $n\%$ и $k\%$ от поверхностной. Тогда для промежуточного уровня (z_x , м) можно записать

$$z_x = \ln (n\% / x\%) / a(z_{n\%} - z_{k\%}) + z_{n\%}. \quad (19)$$

При $n=100\%$ величина $z_{n\%}=0$ и выражение (19) преобразуется в (9), а выражение (18) — в (8а). Подставляя выражение (18) в (19), получаем

$$z_x = [\ln (n\% / x\%) / \ln (n\% / k\%)] (z_{k\%} - z_{n\%}) + z_{n\%}. \quad (20)$$

В итоге:

$$1. 0 \leq z_x \leq z_{30\%}, \text{ м } (30 \leq x \leq 100\%), \\ z_x = [\ln (100/x\%) / \ln (100/30)] z_{30\%}; \quad (20a)$$

$$2. z_{30\%} \leq z_x \leq z_{10\%}, \text{ м } (10 \leq x \leq 30\%), \\ z_x = [\ln (30/x\%) / \ln (30/10)] (z_{10\%} - z_{30\%}) + z_{30\%}; \quad (20b)$$

$$3. z_{10\%} \leq z_x \leq z_3\%, \text{ м } (3 \leq x \leq 10\%), \\ z_x = [\ln (10/x\%) / \ln (10/3)] (z_3\% - z_{10\%}) + z_{10\%}; \quad (20c)$$

$$4. z_3\% \leq z_x \leq z_1\%, \text{ м } (1 \leq x \leq 3\%), \\ z_x = [\ln (3/x\%) / \ln 3] (z_1\% - z_3\%) + z_3\%. \quad (20d)$$

Здесь глубины $z_{30\%}$, $z_{10\%}$, $z_3\%$ и $z_1\%$ в аналитической форме связаны с относительной прозрачностью формулами (16), (11а), (17) и (12а) соответственно.

В табл. 2 приведены численные значения величин z_x , рассчитанных по разработанному алгоритму, формуле (10а) и соотношению

$$z_x = 3,304 [\ln (100/x\%) / \ln 100] (z_\sigma)^{0,956}, \quad (10b)$$

получаемому путем подстановки выражения (12а) в (10). Как видим, отличия между z_x тем больше, чем, во-первых, больше $x\%$ и, во-вторых, больше глубина видимости белого диска (при сравнительно небольшом расхождении между глубинами z_x , рассчитанными по формулам (10а) и (10б)). Таким образом, пренебрежение изменчивостью с

$x=10\%$ по		$x=2\%$ по			$x=1\%$ по		
(105)	(10a)	(17)	(10b)	(10a)	(12a)	(10b)	(10a)
0,85	0,68	1,34	1,29	1,03	1,70	1,70	1,35
1,65	1,35	2,54	2,51	2,06	3,30	3,30	2,71
7,70	6,77	11,4	11,7	10,3	15,4	15,4	13,5
15,0	13,5	21,7	22,8	20,6	29,9	29,9	27,1
29,0	27,1	41,3	44,1	41,3	57,9	57,9	54,2
42,7	40,6	60,2	65,0	61,9	85,3	85,3	81,3
56,2	54,2	78,6	85,6	82,5	112,4	112,4	108,4
69,6	67,7	96,7	105,9	103,1	139,1	139,1	135,4
82,8	81,3	114,6	126,1	123,8	165,6	165,6	162,5

глубиной показателя вертикального ослабления в ряде случаев может привести к существенному завышению искомого уровня $z_x\%$.

В заключение отметим, что полученные соотношения позволяют восстанавливать вертикальный профиль суммарной ФАР, нормированный на свое поверхностное значение, по глубине видимости белого стандартного диска с точностью до 20%. При одновременном с z_σ измерении с помощью пиранометра падающей на поверхность моря естественной радиации вертикальный профиль суммарной ФАР может быть восстановлен в абсолютных (энергетических или квантовых) единицах, используя с этой целью формулы (3), (5).

1. Аваасте О., Молдай Х., Шифрин К. С. Спектральное распределение прямой и рассеянной радиации // Исследования по физике атмосферы ИФА АН ЭССР. — 1962. — № 3. — С. 23—71.
2. Ерлов Н. Г. Оптика моря. — Л.: Гидрометеоиздат, 1980. — 247 с.
3. Иванов А. П. Физические основы гидрооптики. — Минск: Наука и техника, 1975. — 503 с.
4. Очаковский Ю. Е. Примерный расчет проникающей в воды океана фотосинтетически активной радиации и ее спектрального состава на различных глубинах // Океанология. — 1984. — 24, вып. 4. — С. 605—610.
5. Очаковский Ю. Е., Пелевин В. Н., Карлсен Г. Г. и др. Распространение естественного излучения в океане // Гидрофизические и гидрооптические исследования в Атлантическом и Тихом океанах. — М.: Наука, 1974. — С. 166—190.
6. Пелевин В. Н. Солнечное излучение в океане // Оптика океана. — М.: Наука, 1983. — Т. 1. — С. 249—307.
7. Рутковская В. А., Коновалов Б. В. Некоторые результаты актинометрических измерений в водах Тихого океана // Оптика океана и атмосферы. — Л.: Наука, 1972. — С. 193—198.
8. Чехин Л. П. Световой режим водоемов. — Петрозаводск: Карельский филиал АН СССР, 1987. — 130 с.
9. Clarke G. L. Observations on transparency in the Southwestern section of the North Atlantic ocean // J. Marine Res. — 1941. — 4, N 3. — P. 221—230.
10. Holmes R. W. The Secchi disk in turbid coastal waters // Limnol. Oceanogr. — 1970. — 15, N 5. — P. 688—694.
11. Hojerslev N., Lundgren B. Inherent and apparent optical properties of Icelandic waters // Rep. Inst. Fys. Oceanogr., Univ. Copenhagen. — 1977. — N 33. — 63 p.
12. Jerlov N. G., Nygaard K. A. A quanta and energy meter for photosynthetic studies // Ibid. — 1969. — N 10. — 29 p.
13. Jerlov N. G. A simple method for measuring quanta irradiance in the ocean // Ibid. — 1974. — N 24. — 10 p.
14. Jerlov N. G. Classification of sea water in terms of quanta irradiance // J. Cons. Int. Explor. Mer. — 1977. — 37, N 3. — P. 281—287.
15. Jerlov N. G. The optical classification of sea water in the euphotic zone // Rep. Inst. Fys. Oceanogr., Univ. Copenhagen. — 1978. — N 36. — 46 p.
16. Jitts H. R., Morel A., Saito Y. The relation of oceanic primary production to available photosynthetic irradiance // Austr. J. Marine and Freshwater Res. — 1976. — 27, N 3. — P. 441—454.
17. Kishino M., Booth C. R., Okamu N. Underwater radian energy absorbed by phytoplankton, detritus, dissolved organic matter, and pure water // Limnol. Oceanogr. — 1984. — 29, N 2. — P. 340—349.
18. Kishino M., Okamu N. Light utilization efficiency and quantum yield of phytoplankton in thermally stratified sea // Ibid. — 1986. — 31, N 3. — P. 557—566.

19. Kling G. W. Comparative transparency, depth of mixing, and stability of stratification in lakes of Cameroon, West Africa // Ibid. — 1988. — 33, N 1. — P. 27—40.
20. Kullenberg G. Relationships between optical parameters in different oceanic areas // Rep. Inst. Fys. Oceanogr. Univ. Copenhagen. — 1980. — N 42. — P. 57—79.
21. Morel A., Smith R. C. Relation between total quanta and total energy for aquatic photosynthesis // Limnol. Oceanogr. — 1974. — 19, N 4. — P. 591—600.
22. Poole H. H., Atkins W. R. G. Photo-electric measurements of submarine illumination through out the year // J. Mar. Biol. Ass. U. K. — 1929. — 16, N 1. — P. 297—324.
23. Qasim S. Z., Bhattachari P. M. A., Abidi S. A. Solar radiation and its penetration in a tropical estuary // J. Exper. Marine Biology and Ecology. — 1968. — 2, N 1. — P. 87—103.
24. Report of the first meeting of the joint group of experts on phytosynthetic radiant energy // UNESCO technical papers in marine science. — 1965. — N 2. — P. 47—56.
25. Walker T. A. A correction to the Poole and Atkins Secchi dish/light-attenuation formula // J. Mar. Biol. Ass. U. K. — 1980. — 60, N 3. — P. 769—771.
26. Walker T. A. Use of a secchi disc to measure attenuation of underwater light for photosynthesis // J. Appl. Ecology. — 1982. — 19, N 2. — P. 539—544.
27. Weidemann A. D., Bannister T. T. Absorption and scattering coefficients in Irondequoit Bay // Limnol. Oceanogr. — 1986. — 31, N 3. — P. 567—583.

Ин-т биологии юж. морей им. А. О. Ковалевского
АН Украины, Севастополь

Получено
29.11.90

B. E. SHEMESHURA, Z. Z. FINENKO

**RESTORATION OF A VERTICAL PROFILE
OF TOTAL PHOTOSYNTHETICALLY ACTIVE RADIATION IN THE SEA
BY THE DEPTH OF WHITE DISK VISIBILITY**

Summary

An algorithm for restoration of a vertical profile of total photosynthetically active radiation (PAR) in the sea by the depth of the white disc visibility or relative transparency (z_6 , m) has been developed from experimental data obtained in different areas of the World ocean. Interrelation between the depths ($z_{10\%}$, m), ($z_1\%$, m) where the total downward irradiance in the PAR range is 10%, 1% of its surface value, respectively and value z_w is considered preliminarily. The carried out correlational analysis has shown that: $\lg z_{10\%} = 0.188 + 0.930$, $\lg z_6$ for the number of points $n=149$, correlation coefficient $r=0.992$, regression error $S_{yx}=0.075$ and $0.74 \leq z_{10\%} \leq 77$ m, $0.60 \leq z_6 \leq 61.5$ m; $\lg z_1\% = 0.519 + 0.956 \lg z_6$ for $n=128$; $r=0.989$, $S_{yx}=0.085$ and $1.9 \leq z_1\% \leq 184$ m, $0.65 \leq z_6 \leq 61.5$.